

肝癌患者冷消融后部分生化指标和前炎症因子的变化

周红桃,牛立志,周亮,穆峰,张长明,梁冰,杨大明,徐克成

广州复大肿瘤医院实验室,广东 广州 510300

【摘要】 目的 探讨肝癌患者冷消融前后部分生化指标及前炎症因子的变化。方法 20例不适合手术的肝癌患者接受冷消融治疗,检测患者术前、术后1、3、7 d的血清谷丙转氨酶(ALT)、谷草转氨酶(AST)、总胆红素(TBIL)、肌红蛋白(My)、肌酐(Cr)、肿瘤坏死因子- α (TNF- α)和白介素-6(IL-6)值,并进行比较。结果 肝癌患者冷消融术后1 d与术前相比,上述指标均显著升高;术后3 d开始明显降低;术后7 d与术前相比,ALT、AST、My和Cr无显著差异,TBIL、TNF- α 和IL-6仍有不同程度升高。结论 肝癌冷消融治疗对肝肾功能的影响及前炎症细胞因子虽为一过性的,但仍需防止因前炎症细胞因子大量释放导致的副作用。

【关键词】 肝癌;冷消融;生化指标;肿瘤坏死因子- α ;白介素-6

中图分类号: R 735.7 文献标识码: A 文章编号: 1006-5709(2009)02-0110-03 收稿日期: 2008-08-17

The change of partial biochemical parameters and pro-inflammatory cytokines of hepatic carcinoma patients treated with cryoablation therapy

ZHOU Hongtao NIU Lizhi ZHOU Liang MU Feng ZHANG Changming LIANG Bing YANG Daning XU Kecheng Department of Laboratory, Guangzhou Fuda Cancer Hospital, Guangzhou 510300 China

【Abstract】 Objective To explore the change of partial biochemistry parameters and pro-inflammatory factors of hepatic cancer patients treated with cryoablation therapy. **Methods** Twenty unsuitable for traditional surgery hepatic cancer patients treated with cryoablation therapy. Serum levels of ALT, AST, TBIL, My, Cr, TNF- α and IL-6 of pre-treatment 1 d, 3 d and 7 d of post-treatment were tested and analyzed. **Results** All levels of parameters of 1 d-post-treatment were significantly higher than those of pre-treatment, declined notably on 3 d-post-treatment, no significant difference was observed between 1 d-pre-treatment and 7 d-post-treatment in levels of serum ALT, AST, My and Cr, while levels of TNF- α , TBIL and IL-6 of 7 d-post-treatment still remained at higher levels. **Conclusion** Renal function and proinflammatory cytokines caused by cryoablation for hepatic cancer patients, but measures still need to prevent adverse reactions occurring caused by too much proinflammatory factors releasing.

【Key words】 Hepatic cancer; Cryoablation; Laboratory marker; Tumor necrosis factor- α ; Interleukin-6

冷冻治疗通过低温与微血栓形成导致肿瘤细胞损伤和死亡,为众多失去手术机会的原发性或继发性肝癌患者提供了类似手术切除的机会。冷冻治疗安全可靠,并发症发生率低。但仍有少数肝癌患者治疗后出现多器官功能紊乱,甚至冷休克、弥散性血管内凝血(DIC)及肾功能衰竭^[1,2]。与其他器官冷冻相比,肝脏冷冻后血液中多种细胞因子浓度变化幅度更大,更易引起非冷冻器官功能紊乱,这与众多细胞因子在肝脏合成及肝脏含大量的Kupffer细胞有关。本研究检测20例接受冷冻治疗的肝癌患者。检测治疗前后谷丙转氨酶(ALT)、谷草转氨酶(AST)、总胆红素(TBIL)、肿瘤坏死因子- α (TNF- α)、白介素-6、肌红蛋白(My)和肌酐(Cr)的变化并进行比较,报告如下。

1 材料与方法

1.1 临床资料 我院2004年6月~2005年6月住院

第一作者:周红桃,硕士,从事实验室工作

通讯作者:牛立志,博士,主任医师,从事肿瘤微创治疗工作

© 1994-2010 China Academic Journal Electronic Publishing House. All rights reserved. <http://www.cnki.net>

接受冷冻治疗的肝癌患者20例,均经病理确诊,其中男16例,女4例;年龄36~73岁,中位年龄54.6岁。原发性肝癌15例,继发性肝癌5例。乙肝表面抗原(HBsAg)阳性14例。肝功能分级:Child A级4例,B级14例,C级2例。患者均经胸片、胸腹部CT扫描、肝肾功能、KPS评定以确定是否适合接受冷冻治疗(患者有多发结节、肿块直径>10 cm,位置不佳,并患严重器质性疾病者均认为不可接受冷冻治疗)。

1.2 氩氦刀冷消融 患者术前增强CT扫描确定肿瘤的大小、形态、位置和数量,确定氩氦刀推进方向、角度、到达肿块的深度及氩氦刀数量和型号。局麻下,于穿刺点将氩氦刀插入到预定部位,CT扫描确定位置后,启动Cryocare(美国Endocare公司)冷冻系统,进行两个冷冻消融循环,每个循环包括15 min冷冻紧跟着10 min消融,要求冰球涵盖范围尽量超过肿块边缘5~10 mm,对于大块、多发肿瘤,使用多根氩氦刀达到最大程度冰球涵盖肿块目的。

1.3 检测 所有患者于术前、术后1、3、7 d采集肘静

脉清晨空腹血 10 mL 置于清洁干燥试管中, 待血液凝固收缩后, 3 000 r/min 离心 15 min(离心半径 15 cm), 吸取上清液, 置于 -80 ℃ 冻存; 血清 TNF-α、IL-6 及 My 均在 BD-RAD550型酶标仪上采用酶联免疫吸附双抗体夹心法(ELISA)进行检测, 试剂盒由晶美生物工程有限公司提供; AST、ALT 和 TBIL 检测用 7060 生化分析仪常规检测。

1.4 统计学处理 每个项目检测 3 次, 取平均值, 采用 SPSS 13.1 统计软件分析, 治疗前后用 *t* 检验。 $P <$

表 1 20例肝癌患者冷消融治疗前后 ALT、AST、TBIL、My、Cr、TNF-α 和 IL-6 的变化 ($\bar{x} \pm s$)

Tab 1 Pre treatment levels of ALT, AST, TBIL, My, Cr, TNF-α and IL-6 comparing with those of post treatment ($\bar{x} \pm s$)

	ALT (U/L)	AST (U/L)	TBIL (μmol/L)	My (ng/mL)	Cr (μmol/L)	TNF-α (pg/mL)	IL-6 (pg/mL)
术前	49.2 ± 17.1	47.8 ± 16.5	16.4 ± 7.9	46.4 ± 8.9	69.3 ± 14.7	351.6 ± 114.6	12.3 ± 10.3
术后 1 d	690.4 ± 197.5 [#]	630.3 ± 181.2 [#]	48.7 ± 19.1 [#]	286.7 ± 132.5 [#]	83.4 ± 15.8 [#]	1276.6 ± 313.8 [#]	218.4 ± 97.6 [#]
术后 3 d	124.1 ± 52.4 [#]	111.7 ± 42.9 [#]	33.2 ± 16.2 [#]	48.3 ± 11.7	79.9 ± 15.1 [#]	762.8 ± 267.1 [#]	146.3 ± 67.8 [#]
术后 7 d	52.2 ± 19.6	48.8 ± 18.7	24.4 ± 9.5 [#]	47.2 ± 10.2	71.2 ± 15.5	572.7 ± 174.5 [#]	35.7 ± 15.7 [#]

与治疗前比较, $\#P < 0.01$, * $P < 0.05$

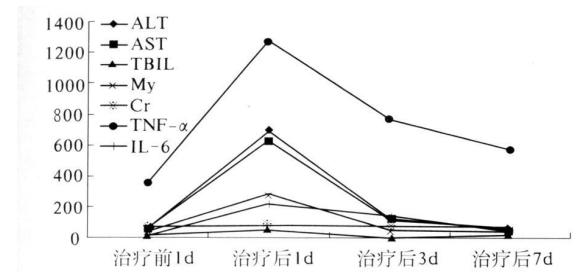


图 1 参数变化

Fig 1 Parameters mutation

3 讨论

氩氦刀冷冻技术目前已广泛应用于实体肿瘤的治疗, 治疗的病种从前列腺癌扩展到肝、肺、肾、乳腺、子宫、卵巢、骨、皮肤与各种软组织的良恶性肿瘤, 其治疗的有效性与安全性已得到专业人士的接受和认可^[3]。在冷冻初期(温度 -4~ -21 ℃), 细胞外冰晶形成, 细胞内渗透压上升、细胞内脱水, 细胞膜和细胞器因此而损伤。当温度进一步降低时, 细胞内冰晶形成, 细胞器如线粒体和内质网发生不可逆性损伤, 最后导致细胞死亡。复温时, 细胞内小冰晶融合成大冰晶, 细胞外间隙冰晶溶解, 成为低渗状态, 水再进入细胞, 引起细胞肿胀, 导致细胞膜破坏。冷冻还可导致血管收缩, 血流减缓, 血小板凝聚, 微血栓形成, 组织缺血缺氧, 引起靶细胞损伤死亡^[3]。本组 20 例行双循环冷冻-复温的肝癌冷冻患者, 术后 1 d 的 ALT 和 AST 分别升高到术前的 14 倍和 13 倍, 但术后 3 d 的 ALT 和 AST 则降低到术前的 2.5 倍和 2.3 倍, 术后 7 d 与术前相比均无显著差异, 显示肝脏冷消融为一过性损伤, 这一结果与已有的报道相一致^[4-6]。TBIL 同样在术后 1 d 显著升

0.05 有统计学意义。

2 结果

20 例患者均接受肝脏冷消融手术, 无患者因冷冻治疗死亡。血清 ALT、AST、TBIL、My、Cr、TNF-α 和 IL-6 治疗前后变化见表 1。所有检测指标冷冻后 1 天与冷冻前比较, 均显著升高(P 均 < 0.01), 术后 3 天开始降低; 术后 7 天, ALT、AST、My 和 Cr 与前比较无显著差异, 但 TBIL、TNF-α 和 IL-6 仍显著高于术前 1 天。

表 1 20 例肝癌患者冷消融治疗前后 ALT、AST、TBIL、My、Cr、TNF-α 和 IL-6 的变化 ($\bar{x} \pm s$)

Tab 1 Pre treatment levels of ALT, AST, TBIL, My, Cr, TNF-α and IL-6 comparing with those of post treatment ($\bar{x} \pm s$)

	ALT (U/L)	AST (U/L)	TBIL (μmol/L)	My (ng/mL)	Cr (μmol/L)	TNF-α (pg/mL)	IL-6 (pg/mL)
术前	49.2 ± 17.1	47.8 ± 16.5	16.4 ± 7.9	46.4 ± 8.9	69.3 ± 14.7	351.6 ± 114.6	12.3 ± 10.3
术后 1 d	690.4 ± 197.5 [#]	630.3 ± 181.2 [#]	48.7 ± 19.1 [#]	286.7 ± 132.5 [#]	83.4 ± 15.8 [#]	1276.6 ± 313.8 [#]	218.4 ± 97.6 [#]
术后 3 d	124.1 ± 52.4 [#]	111.7 ± 42.9 [#]	33.2 ± 16.2 [#]	48.3 ± 11.7	79.9 ± 15.1 [#]	762.8 ± 267.1 [#]	146.3 ± 67.8 [#]
术后 7 d	52.2 ± 19.6	48.8 ± 18.7	24.4 ± 9.5 [#]	47.2 ± 10.2	71.2 ± 15.5	572.7 ± 174.5 [#]	35.7 ± 15.7 [#]

高, 术后 3 d 开始下降, 但术后 7 d 与术前相比增幅仍高达 50% 左右。这是由于胆管不同于大血管能抵抗冷冻治疗所致的损伤, 导致大小胆管受损, 管道狭窄闭锁, 胆汁引流不畅所致。

肝脏作为体内重要的合成代谢器官, 含有大量的肝巨噬细胞。肝细胞损伤、坏死或败血症时, Kupffer 细胞会释放出大量的包括 TNF-α、IL-6 等在内的多种细胞因子^[7-9]。研究显示小鼠肝脏冷消融后, NF-κB 基因活化, 导致包括 TNF-α、IL-6 等在内的多种细胞因子合成增多, 引发所谓的瀑布效应, 致使脏器结构和功能受损^[10, 11]。TNF-α 和 IL-6 属于前炎症细胞因子, 介导炎症反应, 浓度在一定范围内时, 不会产生严重后果。但若肝脏冷冻体积过大、时间过长, 血液中 TNF-α 和 IL-6 等细胞因子浓度过高, 会导致多器官功能紊乱, 引发冷休克、肾功能衰竭、肺功能障碍和血小板耗竭等, 甚至危及患者生命^[12, 13]。本组 20 例肝癌患者冷冻后, TNF-α 和 IL-6 均在术后 1 d 显著升高, 升高的幅度分别达到术前的 3.6 倍和 17.8 倍, 术后 3 d 下降, 但在术后 7 d 仍显著高于术前, 分别为术前的 1.6 倍和 2.9 倍, 显示肝脏冷消融后存在炎症反应, 且升高幅度大, 时间长, 有诱发多脏器功能紊乱的潜在风险, 因而对于肝脏冷冻要限制冷冻范围及冷冻时间。本组患者术后肌红蛋白和肌酐均在术后 1 d 显著升高, 其中肌红蛋白升高幅度大, 达到术前的 6.2 倍, 虽然术后 3 d 则基本恢复正常, 但肌红蛋白术后 1 d 平均升高幅度大, 因而对于有肾功能障碍、巨大或多发的肝癌患者, 要考虑采取分次冷冻, 降低一次冷冻范围及时间, 采取利尿、补足血容量和应用多巴胺扩张肾血管等措施, 降低高肌红蛋白水平可能导致的肾小管坏死风险。肝脏

冷冻后肌红蛋白和肌酐升高, 可能与肝脏冷冻后众多细胞因子释放, 导致骨骼肌肌膜和横纹肌溶解损伤有关^[14]。

总的来说, 肝癌冷消融安全可靠, 肝肾功能、肌红蛋白及炎症因子均为一过性升高, 但仍需控制冷冻时间及冷冻范围, 采取相应措施以降低并发症的发生率。

参考文献

- [1] Weaver ML, Atkinson D, Zemel R. Hepatic cryosurgery in treating colorectal metastases [J]. Cancer 1995, 76(2): 210-214.
- [2] Seifert JK, Morris DL. World survey on the complications of hepatic and prostate cryotherapy [J]. World J Surg 1999, 23(2): 109-114.
- [3] Xu KC, Ni LZ. Tumor Cryotherapy [M]. Shanghai: Shanghai Technology and Education Publishing Corporation, 2007: 82-105.
徐克成, 牛立志, 主编. 肿瘤冷冻治疗学 [M]. 上海: 上海科学技术出版社, 2007: 82-105.
- [4] Goodie DB, Horton MD, Morris RW, et al. Anaesthetic experience with cryotherapy for treatment of hepatic malignancy [J]. Anaesth Intensive Care, 1992, 20(4): 491-496.
- [5] Shafir M, Shapiro R, Sung M, et al. Cryoablation of unresectable malignant liver tumors [J]. Am J Surg 1996, 171(1): 27-31.
- [6] Zhou XD, Tang ZY, Yu YQ, et al. Clinical evaluation of cryosurgery in the treatment of primary liver cancer Report of 60 cases [J]. Canc-
- [7] Wang P, Ba ZF, Chaudry IH. Mechanism of hepatocellular dysfunction during early sepsis. Key role of increased gene expression and release of proinflammatory cytokines tumor necrosis factor and interleukin-6 [J]. Arch Surg 1997, 132(4): 364-369.
- [8] Wang LQ, Ding JW, Persson BG, et al. Enhanced Kupffer cell activity after repeated hepatic arterial ischaemia in an experimental model [J]. Br J Surg 1994, 81(12): 1775-1778.
- [9] Jiang J, Bahrami S, Leichtfried G, et al. Kinetics of endotoxin and tumor necrosis factor in portal and systemic circulation after hemorrhagic shock in rats [J]. Ann Surg 1995, 221(1): 100-106.
- [10] Blackwell TS, Christman JW. The role of nuclear factor-kappa B in cytokine gene regulation [J]. Am J Respir Cell Mol Biol 1997, 17(1): 3-9.
- [11] Blackwell TS, Debek JP, Venkatakrishnan A, et al. Acute lung injury after hepatic cryoablation: correlation with NF-kappa B activation and cytokine production [J]. Surgery 1999, 126(3): 518-526.
- [12] Tracey KJ, Fong Y, Hesse DG, et al. Anti-cachectin/TNF monoclonal antibodies prevent septic shock during lethal bacteraemia [J]. Nature 1987, 330(6149): 662-664.
- [13] Nathan C, Sporn M. Cytokines in context [J]. J Cell Biol 1991, 113(5): 981-986.
- [14] Knochel JP. Mechanisms of rhabdomyolysis [J]. Curr Opin Rheumatol 1993, 5(6): 725-731.

(上接第 109页)

肠化生(I型)和不完全型肠化生(II型和III型)。对于后者, 如果柱状上皮细胞分泌中性黏液和酸性唾液酸黏液为II型肠化, 如果主要分泌酸性硫酸黏液则为III型肠化(PAS染色为蓝色)。一般认为, 不完全型、特别是含硫酸黏液者具有较高的癌变潜能^[4]。本例患者为II型肠化, 说明有较高的癌变潜能。

BE上皮的消退需要化生上皮的再损伤, 且伴随无酸环境下上皮细胞愈合^[5]。我们前期的研究结果表明, 与氩等离子凝固术、射频消融术和内镜下黏膜切除术等方法相比, 内镜热极治疗技术是治疗BE的一种行之有效的方法^[1]。

我们的体会: ①虽然BE发病率低^[6], 但要重视其临床表现和内镜下特征; ②怀疑为BE时, 应积极应用色素内镜检查技术和组织化学染色技术; ③若确诊为BE, 尤其是肠化型, 应积极对其进行内镜下热极治疗; ④重视随防。

参考文献

- [1] Zhang RG, Fang DC, Guo XK, et al. Clinical observation from Barrett's esophagus treatment by combining heat probe thermocoagulation with proton pump inhibitor [J]. Chin J Gastroenterol Hepatol 2008, 17(5): 370-371.
张汝钢, 房殿春, 郭先科, 等. 内镜热极技术联用抑酸剂治疗Barrett食管的临床观察 [J]. 胃肠病学和肝病学杂志, 2008, 17(5): 370-371.
- [2] Diagnosis and treatment consensus of Barrett's esophagus (2005) [J]. Chin J Gastroenterol Hepatol 2006, 15(1): 80-81.

er 1988, 61(9): 1889-1892.

- [7] Wang P, Ba ZF, Chaudry IH. Mechanism of hepatocellular dysfunction during early sepsis. Key role of increased gene expression and release of proinflammatory cytokines tumor necrosis factor and interleukin-6 [J]. Arch Surg 1997, 132(4): 364-369.
- [8] Wang LQ, Ding JW, Persson BG, et al. Enhanced Kupffer cell activity after repeated hepatic arterial ischaemia in an experimental model [J]. Br J Surg 1994, 81(12): 1775-1778.
- [9] Jiang J, Bahrami S, Leichtfried G, et al. Kinetics of endotoxin and tumor necrosis factor in portal and systemic circulation after hemorrhagic shock in rats [J]. Ann Surg 1995, 221(1): 100-106.
- [10] Blackwell TS, Christman JW. The role of nuclear factor-kappa B in cytokine gene regulation [J]. Am J Respir Cell Mol Biol 1997, 17(1): 3-9.
- [11] Blackwell TS, Debek JP, Venkatakrishnan A, et al. Acute lung injury after hepatic cryoablation: correlation with NF-kappa B activation and cytokine production [J]. Surgery 1999, 126(3): 518-526.
- [12] Tracey KJ, Fong Y, Hesse DG, et al. Anti-cachectin/TNF monoclonal antibodies prevent septic shock during lethal bacteraemia [J]. Nature 1987, 330(6149): 662-664.
- [13] Nathan C, Sporn M. Cytokines in context [J]. J Cell Biol 1991, 113(5): 981-986.
- [14] Knochel JP. Mechanisms of rhabdomyolysis [J]. Curr Opin Rheumatol 1993, 5(6): 725-731.

中华医学会消化病学分会(房殿春, 许国铭, 赵晶京, 执笔). Barrett食管诊治共识(2005重庆草案) [J]. 胃肠病学和肝病学杂志, 2006, 15(1): 80-81.

- [3] Fan YJ, Wang LD, Liu B. Advance in diagnosis of Barrett esophagus with methylene blue chromoendoscopy [J]. Chin J Cancer Prev Treat 2006, 13(23): 1831-1834.
樊宇婧, 王立东, 刘宾. 亚甲蓝染色内镜诊断Barrett食管的研究进展 [J]. 中华肿瘤防治杂志, 2006, 13(23): 1831-1834.
- [4] Zhang RG, Fang DC, Zhong HX, et al. The prevalence, endoscopic and pathological characteristics of Barrett's esophagus in Luoyang [J]. Chin J Gastroenterol Hepatol 2007, 16(6): 519-521.
张汝钢, 房殿春, 钟汉馨, 等. 洛阳地区Barrett's食管的发病情况、内镜和病理学特点 [J]. 胃肠病学和肝病学杂志, 2007, 16(6): 519-521.
- [5] Chen W, Huang ZH, Zhou XG, et al. Efficacy of Argon plasma coagulation with rabeprazole therapy for Barrett esophagus [J]. Applied J General Practice 2007, 4(5): 344-345.
陈伟, 黄中华, 周旋光, 等. 氩离子凝固术联合雷贝拉唑治疗Barrett食管疗效观察 [J]. 实用全科医学, 2007, 4(5): 344-345.
- [6] Chen X, Zhu LR, Hou XH. Meta analysis of 4132 cases of Barrett's esophagus in China [J]. Chin J Gastroenterol Hepatol 2008, 17(2): 102-105.
陈霞, 朱良如, 侯晓华. 中国人Barrett食管临床特点分析 [J]. 胃肠病学和肝病学杂志, 2008, 17(2): 102-105.